

зом, на основании структуры характеризующих ее материальных тензоров. Однако, как следует из сказанного выше, тензоры эффективной среды различного порядка могут соответствовать различным симметриям. Это обстоятельство вызывает необходимость конкретизации рассматриваемого физического процесса при использовании понятия симметрии эффективной среды.

Отметим, что выражения (6) определяют такие эффективные нелинейные восприимчивости $\chi_{ij\sigma}$, ответственные за генерацию второй оптической гармоники и эффект смешения частот в СР. Для них остаются в силе и соображения об особенностях симметрии эффективной среды.

Список литературы

- [1] Рытов С. М. // ЖЭТФ. 1955. Т. 29. № 5. С. 605—616.
- [2] Рытов С. М. // Акуст. журн. 1956. Т. 2. № 2. С. 71—83.
- [3] Grimsditch M., Nizzoli F. // Phys. Rev. 1986. V. B33. N 8. P. 5891—5892.
- [4] Rouhani B. D., Sapriel J. // Phys. Rev. 1986. V. B34, N 10. P. 7114—7117.
- [5] Вакуленко А. В., Чернозатонский Л. А. // ФТТ. 1988. Т. 30. № 6. Р. 1641—1645.
- [6] Akcakaya E., Farnell G. V. // J. Appl. Phys. 1988. V. 64. N 9. P. 4469—4473.
- [7] Нарасимхамурти Т. Фотоупругие и электрооптические свойства кристаллов, М.: Мир, 1984.

Институт химической физики
АН СССР
Москва

Поступило в Редакцию
25 мая 1990 г.

Физика твердого тела, том 32, № 11, 1990
Solid State Physics, vol. 32, N 11, 1990

ЗАВИСИМОСТЬ ПАРАМЕТРОВ СВЕРХПРОВОДЯЩЕГО ПЕРЕХОДА В $PbTe\langle Tl \rangle$ ОТ СОРТА И КОЛИЧЕСТВА ИЗОВАЛЕНТНОЙ ПРИМЕСИ

M. K. Житинская, С. А. Немов, Р. В. Парфеньев, Д. В. Шамшур

Легирование теллурида свинца таллием приводит к образованию квазилокальных примесных состояний на фоне разрешенного энергетического спектра валентной зоны [1]. При расположении уровня Ферми в пределах примесной полосы таллия в $PbTe\langle Tl \rangle$ наблюдается объемная сверхпроводимость с критической температурой $T_c \sim 1.4$ К [1].

Опыты по дополнительному легированию теллурида свинца с примесью таллия электрически активной примесью (Na, Li, избыток Pb) показали, что примесные состояния Tl играют определяющую роль в возникновении сверхпроводящего состояния [1, 2]. Изучение сверхпроводящих свойств таких образцов показало, что наблюдается корреляция параметров сверхпроводящего перехода: T_c , $H_{c2}(0)$, $|\partial H_{c2}/\partial T|_{T \rightarrow T_c}$ (где H_{c2} — второе критическое магнитное поле), плотности состояний на уровне Ферми $N(0)$ и удельного сопротивления ρ_N в нормальном состоянии в зависимости от степени заполнения квазилокальных состояний дырками. При совпадении уровня Ферми с центром полосы Tl указанные величины максимальны.

В настоящей работе представлены результаты экспериментального исследования влияния изовалентного замещения атомов в металлической подрешетке $PbTe\langle Tl \rangle$ на параметры сверхпроводящего перехода. Полученные результаты анализируются вместе с данными по изовалентному замещению атомов в подрешетке халькогена [3, 4] и атомов Pb на Sn [5]. Были исследованы твердые растворы типа $Pb_{1-x}A_xTe\langle Tl \rangle$ (A — Ge, Si) с фиксированным содержанием примеси таллия $N_{Tl}=2$ ат. %. Образцы

были изготовлены по обычной металлокерамической технологии [1-4], включающей в себя гомогенизирующий отжиг при температуре 650 °C в течение 120 ч.

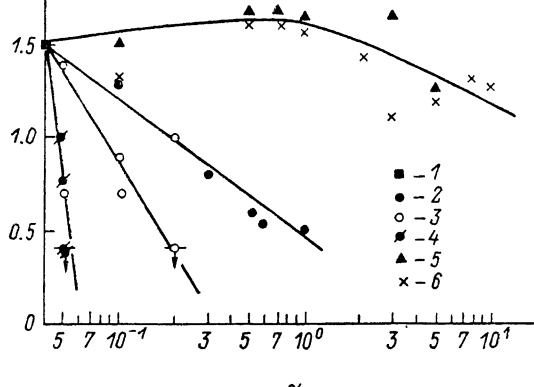


Рис. 1. Зависимости критической температуры T_c от содержания изовалентной примеси в $\text{Pb}_{1-x}\text{A}_x\text{Te}\langle|\text{Tl}|\rangle$ и $\text{PbTe}_{1-y}\text{B}_y\langle|\text{Tl}|\rangle$. A=Si, Ge, Sn, B=S, Se.

Примесь. 1 — $x=y=0$, 2 — Sn [4], 3 — Ge, 4 — S, 5 — Se [1], 6 — S [4]. Стрелками отмечены образцы, не перешедшие в сверхпроводящие соединения при $T \geq 0.4$ К.

Сверхпроводящий переход детектировался измерением зависимостей удельного сопротивления $\rho(T, H)$ в диапазоне температур 0.4—4.2 К и магнитных полей 0—13 кЭ. Значения критической температуры и второго критического магнитного поля H_{c_2} найдены из условия $\rho = 0.5 \rho_N$.

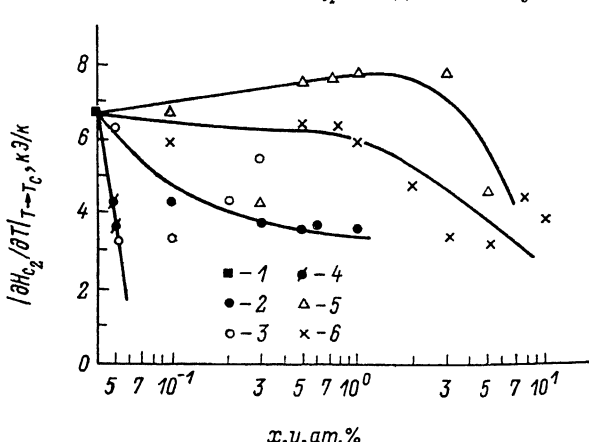


Рис. 2. Зависимости производной $|dH_{c_2}/dT|_{T \rightarrow T_c}$ от содержания изовалентной примеси в $\text{Pb}_{1-x}\text{A}_x\text{Te}\langle|\text{Tl}|\rangle$ и $\text{PbTe}_{1-y}\text{B}_y\langle|\text{Tl}|\rangle$.

Обозначения те же, что и на рис. 1.

Полученные результаты вместе с данными [3-5] изображены на рис. 1, 2. Виден совершенно различный характер влияния замещения атомов в подрешетках халькогена и металла на параметры сверхпроводящего перехода, а именно замещение $\text{Te} \rightarrow \text{Se}, \text{S}$ в $\text{PbTe}_{1-y}\text{B}_y\langle|\text{Tl}|\rangle$ слабо влияет на параметры сверхпроводящего перехода вплоть до содержания изовалентной примеси $y \approx 5 \div 10$ ат. %, что коррелирует с малым влиянием такого замещения на характеристики полосы Tl и свойства материала в нормальном состоянии [3, 4, 6].

В то же время малые добавки элементов IV группы ($x \sim 0.5$ ат. %), замещающих атомы свинца, при практически неизменной концентрации дырок в валентной зоне приводят к значительному снижению T_c и даже

исчезновению сверхпроводящего перехода при температурах $T \geq 0.4$ К, причем (рис. 1) наблюдается корреляция между положением элемента в таблице Менделеева и его влиянием на параметры сверхпроводящего перехода. Снижение T_c тем больше и срыв сверхпроводимости тем раньше (при меньших количествах примеси Sn, Ge, Si), чем выше расположен элемент в IV группе периодической системы элементов.

Если учесть, что таллий является примесью замещения свинца в PbTe [7], а также то, что квазилокальные состояния Tl вносят определяющий вклад в сверхпроводимость, то полученные экспериментальные данные свидетельствуют о сильной пространственной локализации примесных состояний Tl (в пределах одной-двух элементарных ячеек) и важной роли металлической подрешетки в их формировании.

Список литературы

- [1] Кайданов В. И., Равич Ю. И. // УФН. 1985. Т. 145. № 1. С. 51–86.
- [2] Кайданов В. И., Немов С. А., Парфеньев Р. В., Шамшур Д. В. // ФТТ. 1987. Т. 29. № 6. С. 1886–1887.
- [3] Кайданов В. И., Немов С. А., Парфеньев Р. В., Шамшур Д. В. // ФТТ. 1985. Т. 27. № 8. С. 2513–2515.
- [4] Житинская М. К., Немов С. А., Парфеньев Р. В., Шамшур Д. В. // ФТТ. 1990. Т. 32. № 1. С. 122–126.
- [5] Немов С. А., Парфеньев Р. В., Шамшур Д. В. // ФТТ. 1985. Т. 27. № 2. С. 589–592.
- [6] Вейс А. Н., Кайданов В. И., Немов С. А. // ФТП. 1983. Т. 17. № 11. С. 1948–1952.
- [7] Гарциман К. Г., Жукова Т. Б., Немов С. А. // Изв. АН СССР, неорг. матер. 1985. Т. 21. № 3. С. 498–500.

Физико-технический институт
им. А. Ф. Иоффе АН СССР
Ленинград

Поступило в Редакцию
31 мая 1990 г.

УДК 537.312.62+538.945+548 : 537.611.45

© Физика твердого тела, том 32, № 11, 1990
Solid State Physics, vol. 32, N 11, 1990

МАГНИТНОЕ УПОРЯДОЧЕНИЕ РЗ-ПОДРЕШЕТКИ В КЕРАМИКЕ $DyBa_2Cu_3O_{7-\delta}$ В УСЛОВИЯХ ВСЕСТОРОННЕГО СЖАТИЯ

B. П. Дьяконов, Г. Г. Левченко, B. И. Маркович, И. М. Фита

В работах [1, 2], исследовавших влияние магнитного поля на магнитные свойства ВТСП-керамики $DyBa_2Cu_3O_{7-\delta}$, было показано, что в этом соединении ниже $T_N=0.95$ К намагниченность проявляет метамагнитный характер, обусловленный сильным расщеплением основного состояния Dy^{3+} в кристаллическом поле, и при температуре $T_u \sim 2.2 \div 2.4$ К (значение T_u зависит от величины магнитного поля) имеет место структурный фазовый переход ян-теллеровского типа.

Влияние давления на магнитное упорядочение РЗ-подрешетки в системе $DyBa_2Cu_3O_{7-\delta}$ не изучалось, а это представляет определенный интерес, поскольку давлением можно воздействовать как на структуру уровня основного состояния магнитного иона, так и на обменные взаимодействия, что в совокупности определяет магнитное поведение $DyBa_2Cu_3O_{7-\delta}$.

В настоящей работе изучено влияние давления на температуру магнитного упорядочения моментов Dy^{3+} и поведение в магнитном поле несверхпроводящей керамики $DyBa_2Cu_3O_{7-\delta}$ (тетрагональная структура). Исследованы температурные и полевые зависимости магнитной восприимчивости, измеренной на переменном токе ($f=30 \div 300$ Гц, $\hbar \sim 1 \div 10$ Г) в области температур 0.05–4.2 К при гидростатических давлениях 4.2 и